



DIC • 73

Fotografía 1.- Vista parcial de los niveles de arcillas limosas de colores rojizos con intercalaciones de cantos y bolos de yesos alabastrinos blancos (Vindoboniense)



Fotografía 10.- Vista panorámica de la discordancia entre la formación yesífera del Vindoboniense superior y el Plioceno detrítico (En las proximidades de Zarza de Tajo).

- 1) Formación yesífera (Vindoboniense)
- 2) Plioceno detrítico.



• DIC • 73

Fotografía 11. Aspecto parcial de la discordancia entre la formación yesífera del Vindoboniense superior y el Plioceno detrítico (Carretera que une Zarza de Tajo con la carretera Tarancón Ocaña)

- 1) Formación yesífera
- 2) Plioceno detrítico.



• DIC 73

Fotografía 12.- Panorámica morfológica de la formación yesífera Vindoboniense (Al fondo Tarancón).



• DIC 73

Fotografía 13.- Panorámica de la formación yesífera Vindobonense-Superior en la que se observan indentaciones arcillosas rojizas (A)



Fotografía 14.- Vista panorámica del cambio de facies del Mioceno. A la derecha de la fotografía la formación arcillosa de color rojizo con niveles yesíferos, a la izquierda yesos. (Vindoboniense-superior).



Fotografía 15.- Panorámica general al Este de Barajas de Melo.

- 1) Mioceno
- 2) Paleógeno
- 3) Cretácico Superior.



Fotografía 16.- Detalle de la estructura anticlinal en las calizas Senonienses.



• DIC 73

Fotografía 17.- Detalle de la carstificación de las calizas Senonenses.



Fotografía 18.- Panorámica del Cabalgamiento Cretácico.



• DIC 73

Fotografía 19.- Detalle de las estructuras poligonales en las calizas cenomanicas. Afloramientos en el Estrecho de Paredes.



• DIC 73

Fotografía 2.- Discordancia entre el Paleógeno y el Mioceno arcillo-yesífero.



Fotografía 20.- Panorámica del anticlinal del Estrecho de Paredes.



• DIC 73

Fotografía 21.- Detalle de las brechas Jurásicas del
Estrecho de Paredes.



• DIC 73

Fotografía 22.- Valle a favor de las margas cenomanienses en el Estrecho de Paredes.



Fotografía 23. Vista parcial de la discordancia entre las calizas senonienses y las brechas calcáreas miocenas.



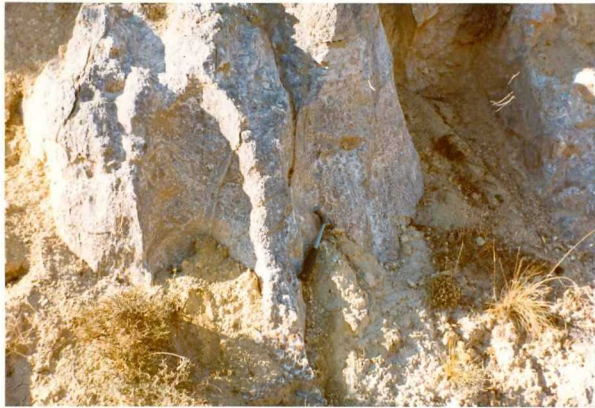
• DIC 73

Fotografía 24.- Detalle del corte de Azcoitia, Calizas Jurásicas (1), Albense (2) y Calizas Cenomanienses (3).



• DIC 73

Fotografía 25. Anticlinal en Calizas Jurásicas.



• DIC • 73

Fotografía 26.- Detalle de los yesos garumnenses, en el P.K. 5º de la carretera de Huelves a Barajas de Melo.



Fotografía 27.- Panorámica del Cretácico al Sur de Huelva.



Fotografía 28.- Paleógeno al Sur de Huelva.



Fotografía 29.- Panorámica de las formaciones Senoniense-Garumniense-Peleógeno



* DIC 73

Fotografía 3.- Vista panorámica del Paleógeno y de las calizas del Cretácico superior.



73

NTC

Fotografía 30.- Detalle de los niveles calizos en el techo del Garumniense.



NTC • 73

Fotografía 31.- Contacto del páramo con los yesos Vindoboniense.



Fotografía 32.- Detalle de las calizas Pontienses al noroeste de Tarancón.



73

NTC

Fotografía 33.- Detalle del Plioceno Detritico en el P.K 78,500 de la carretera Madrid-Valencia.



• DTC 73

Fotografía 34.- Detalle de la Terraza cementada T_1 en la carretera de Madrid-Valencia.



Fotografía 35.- Detalle de la Terraza T_2 al este de Fuentidueña de Tajo.



• DIC 73

Fotografía 4.- Panorámica morfológica del Mioceno al Norte de Barajas de Melo.



Fotografía 5.- Panorámica de Vindoboniense superior-inferior al Oeste de Barajas de Melo.

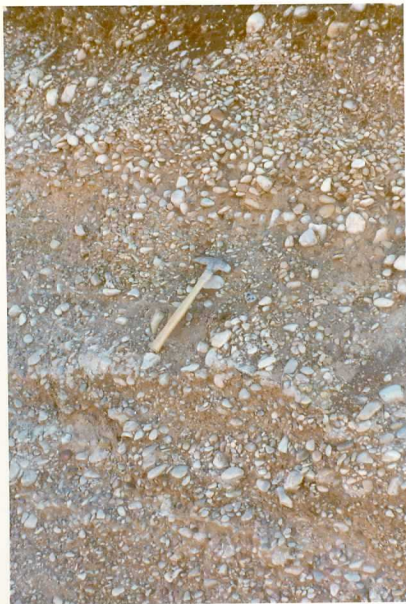
- 1) Yesos sacaroideos blancos
- 2) Arcillas verdes.



• DIC

73

Fotografía 6.- Panorámica de los yesos del Vindoboniense superior.



• DIC

73

Fotografía 7.- Detalle de la Terraza T_1 en la margen izquierda del río Tajo.



Fotografía 8.- Panorámica morfológica de la Terraza T_1 . (En primer plano Terraza 1, al fondo los niveles yesíferos vindobonienses)



• DIC • 73

Fotografía 9.- Detalle de la formación arcillo-yesífera Burdigaliense en el P.K. 61,800 de la -- carretera Madrid-Valencia.